

Eingabe: Farbmimetrisches Reflexions-System MRS18a

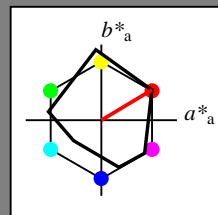
für Buntton  $h^* = lab^*h = 31/360 = 0.086$

$lab^*ch$  und  $lab^*nch$

D65: Buntton R

LCH\*Ma: 50 78 31

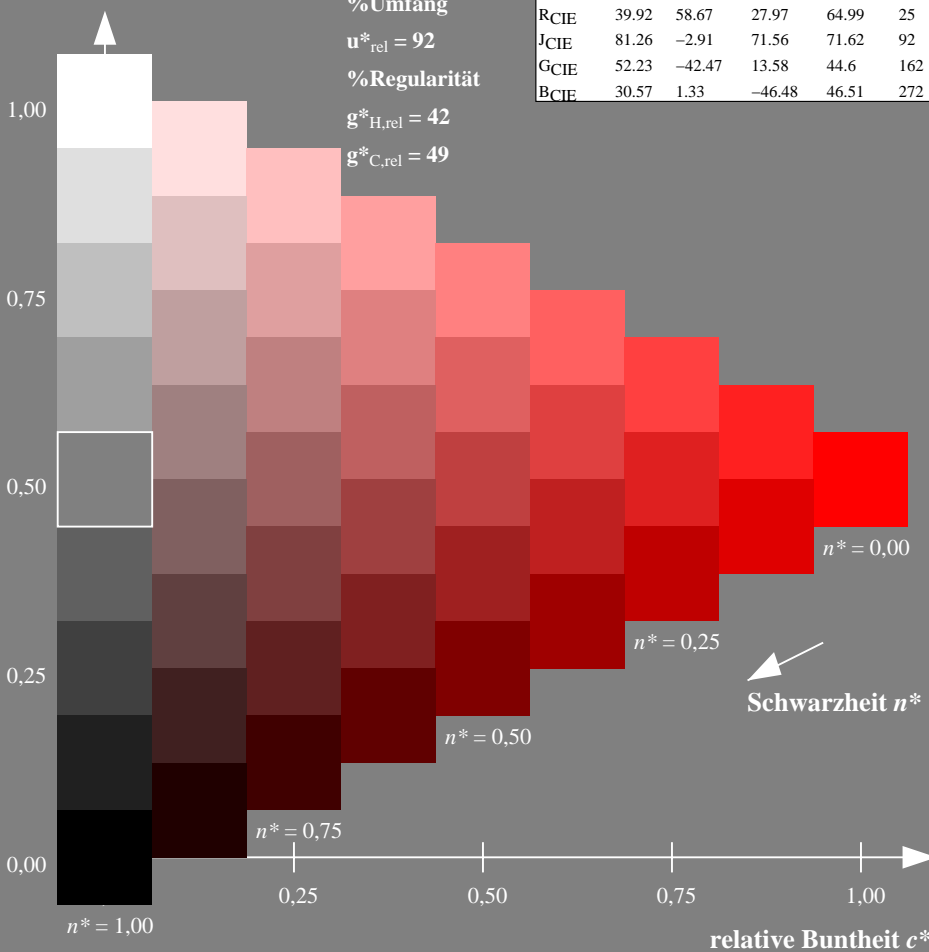
rgb\*Ma: 1.0 0.0 0.0



MRS18a; adaptierte CIELAB-Daten

	$L^*=L^*_a$	$a^*_a$	$b^*_a$	$C^*_{ab,a}$	$h^*_{ab,a}$
RMa	49.63	66.8	40.02	77.87	31
JMa	90.7	-7.27	93.19	93.48	94
GMa	52.11	-69.93	11.26	70.85	171
G50BMa	45.03	-36.65	-27.13	45.61	217
BMa	36.65	23.26	-62.27	66.49	290
B50RMa	34.94	57.27	-43.6	71.99	323
NMa	18.01	0.0	0.0	0.0	0
WMa	95.41	0.0	0.0	0.0	0
RCIE	39.92	58.67	27.97	64.99	25
JCIE	81.26	-2.91	71.56	71.62	92
GCIE	52.23	-42.47	13.58	44.6	162
BCIE	30.57	1.33	-46.48	46.51	272

Dreiecks-Helligkeit  $t^*$



Ausgabe: Farbmimetrisches Reflexions-System ORS18

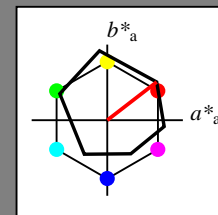
für Buntton  $h^* = lab^*h = 38/360 = 0.105$

$lab^*ch$  und  $lab^*nch$

D65: Buntton O

LCH\*Ma: 48 83 38

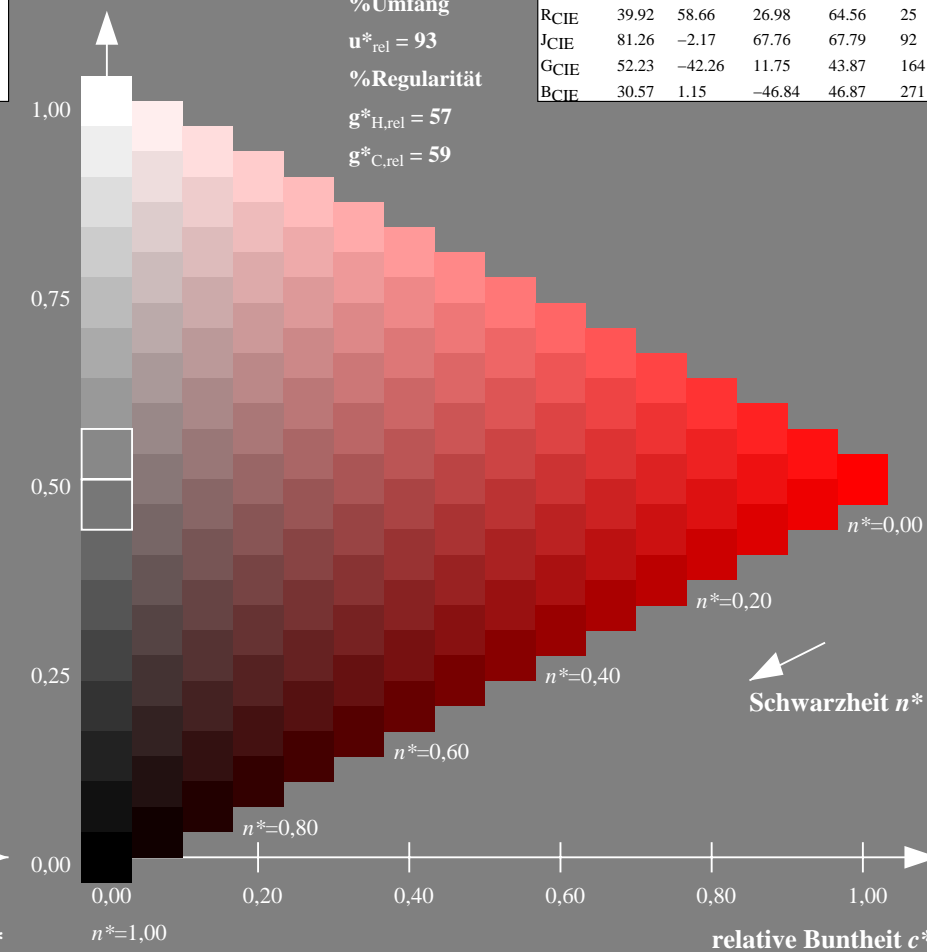
rgb\*Ma: 1.0 0.0 0.0



ORS18; adaptierte CIELAB-Daten

	$L^*=L^*_a$	$a^*_a$	$b^*_a$	$C^*_{ab,a}$	$h^*_{ab,a}$
OMa	47.94	65.37	50.52	82.62	38
YMa	90.37	-10.27	91.77	92.34	96
LMa	50.9	-62.79	34.95	71.87	151
CMa	58.62	-30.35	-45.01	54.3	236
VMa	25.71	31.11	-44.42	54.24	305
MMa	48.13	75.27	-8.35	75.73	354
NMa	18.01	0.0	0.0	0.0	0
WMa	95.41	0.0	0.0	0.0	0
RCIE	39.92	58.66	26.98	64.56	25
JCIE	81.26	-2.17	67.76	67.79	92
GCIE	52.23	-42.26	11.75	43.87	164
BCIE	30.57	1.15	-46.84	46.87	271

Dreiecks-Helligkeit  $t^*$



Siehe ähnliche Dateien: <http://www.ps.bam.de/TG96/>  
 Technische Information: <http://www.ps.bam.de> Version 2.1, io=1,1

BAM-Registrierung: 20060101-TG96/10Q/Q96G00NP.PS/.PDF BAM-Material: Code=rh4ta  
 Anwendung für Beurteilung und Messung von Drucker- oder Monitorssystemen  
 /TG96 Form: 1/10, Serie: 1/1, Seite: 1  
 Seitenzahl: 1

TG960-7, 9stufige Reihen für konstanten CIELAB Buntton 31/360 = 0.086 (links)

16stufige Reihen für konstanten CIELAB Buntton 38/360 = 0.105 (rechts)

BAM-Prüfvorlage TG96; Farbmimetrische Systeme MRS18a & ORS18; Input:  $olv^* setrgbcolor$

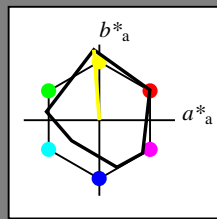
D65: 9 und 16stufige Farbreihen für 10 Bunttöne

output: no change compared to input

Eingabe: Farbmimetrisches Reflexions-System MRS18a

für Buntton  $h^* = lab^*h = 94/360 = 0.262$

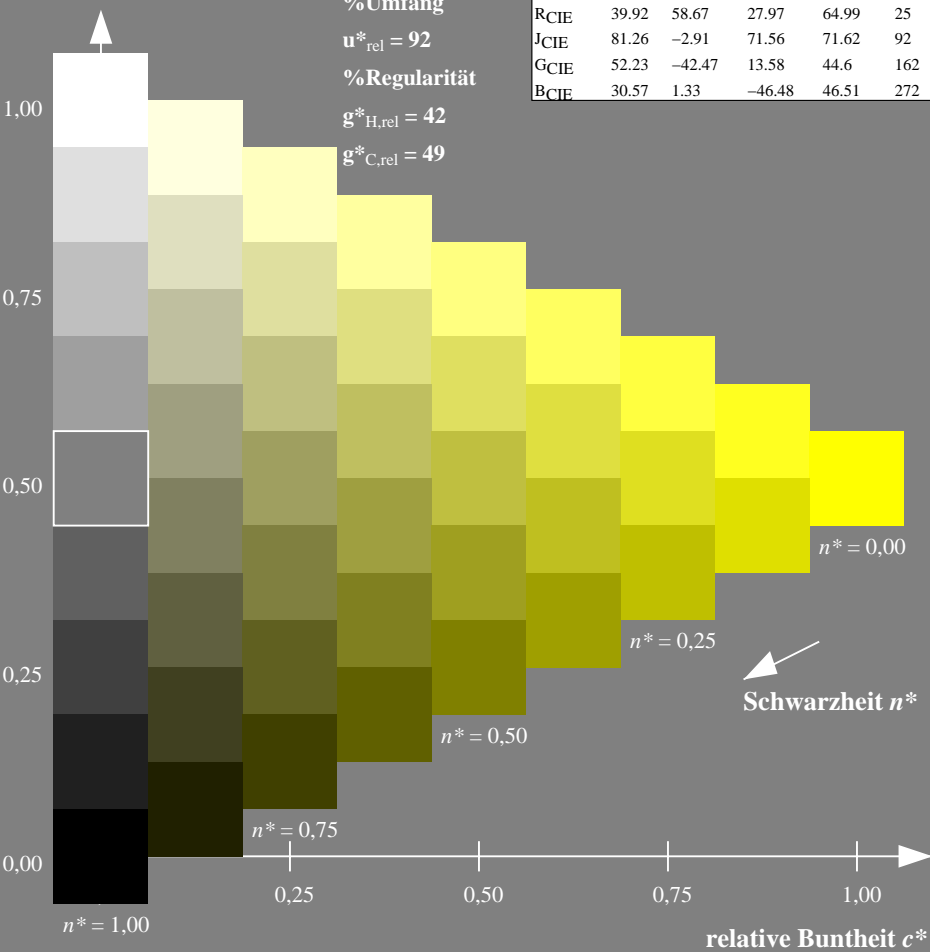
$lab^*ch$  und  $lab^*nch$   
 D65: Buntton J  
 LCH\*Ma: 91 93 94  
 rgb\*Ma: 1.0 1.0 0.0



MRS18a; adaptierte CIELAB-Daten

	$L^*=L^*_a$	$a^*_a$	$b^*_a$	$C^*_{ab,a}$	$h^*_{ab,a}$
RMa	49.63	66.8	40.02	77.87	31
JMa	90.7	-7.27	93.19	93.48	94
GMa	52.11	-69.93	11.26	70.85	171
G50BMa	45.03	-36.65	-27.13	45.61	217
BMa	36.65	23.26	-62.27	66.49	290
B50RMa	34.94	57.27	-43.6	71.99	323
NMa	18.01	0.0	0.0	0.0	0
WMa	95.41	0.0	0.0	0.0	0
RCIE	39.92	58.67	27.97	64.99	25
JCIE	81.26	-2.91	71.56	71.62	92
GCIE	52.23	-42.47	13.58	44.6	162
BCIE	30.57	1.33	-46.48	46.51	272

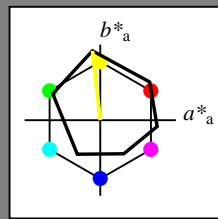
Dreiecks-Helligkeit  $t^*$



Ausgabe: Farbmimetrisches Reflexions-System ORS18

für Buntton  $h^* = lab^*h = 96/360 = 0.268$

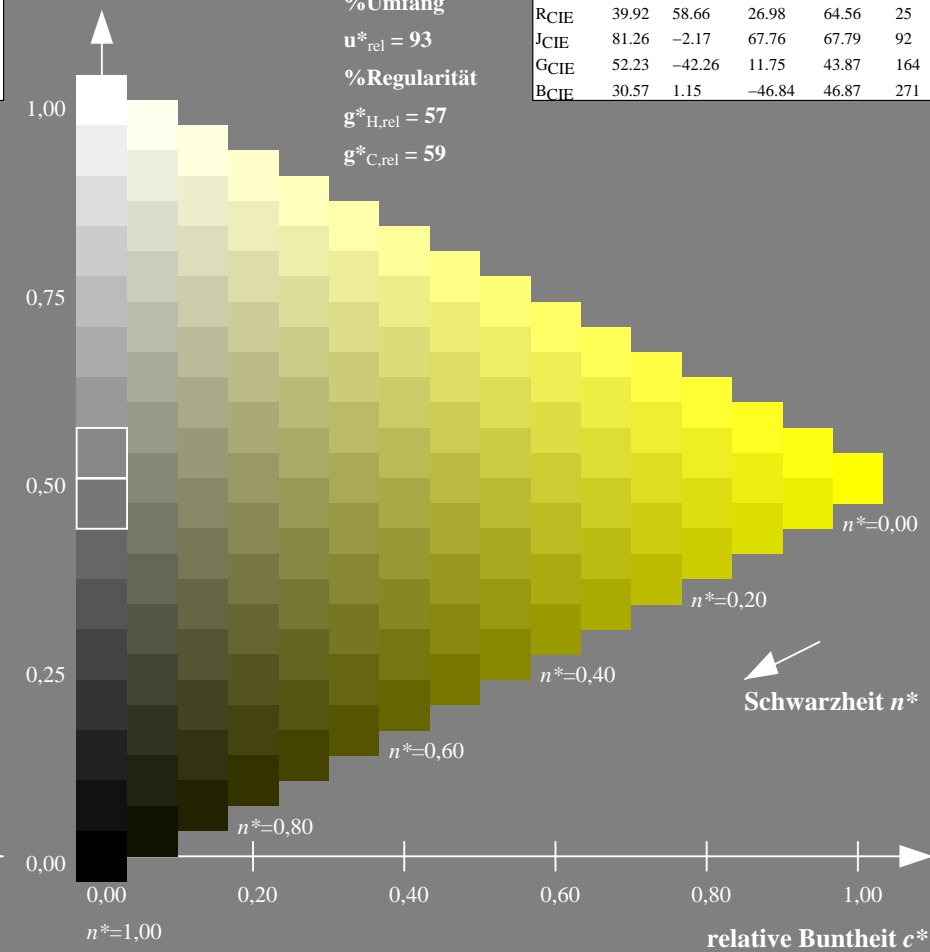
$lab^*ch$  und  $lab^*nch$   
 D65: Buntton Y  
 LCH\*Ma: 90 92 96  
 rgb\*Ma: 1.0 1.0 0.0



ORS18; adaptierte CIELAB-Daten

	$L^*=L^*_a$	$a^*_a$	$b^*_a$	$C^*_{ab,a}$	$h^*_{ab,a}$
OMa	47.94	65.37	50.52	82.62	38
YMa	90.37	-10.27	91.77	92.34	96
LMa	50.9	-62.79	34.95	71.87	151
CMa	58.62	-30.35	-45.01	54.3	236
VMa	25.71	31.11	-44.42	54.24	305
MMa	48.13	75.27	-8.35	75.73	354
NMa	18.01	0.0	0.0	0.0	0
WMa	95.41	0.0	0.0	0.0	0
RCIE	39.92	58.66	26.98	64.56	25
JCIE	81.26	-2.17	67.76	67.79	92
GCIE	52.23	-42.26	11.75	43.87	164
BCIE	30.57	1.15	-46.84	46.87	271

Dreiecks-Helligkeit  $t^*$



Siehe ähnliche Dateien: <http://www.ps.bam.de/TG96/>  
 Technische Information: <http://www.ps.bam.de> Version 2.1, io=1,1

BAM-Registrierung: 20060101-TG96/10Q/Q96G01NP.PS/.PDF BAM-Material: Code=rh4ta  
 Anwendung für Beurteilung und Messung von Drucker- oder Monitorssystemen  
 /TG96 Form: 2/10, Serie: 1/1, Seite: 2  
 Seitenlung 2

TG960-7, 9stufige Reihen für konstanten CIELAB Buntton  $94/360 = 0.262$  (links)

16stufige Reihen für konstanten CIELAB Buntton  $96/360 = 0.268$  (rechts)

BAM-Prüfvorlage TG96; Farbmimetrische Systeme MRS18a & ORS18  
 D65: 9 und 16stufige Farbreihen für 10 Bunttöne  
 input:  $olv^* setrgbcolor$   
 output: no change compared to input

Eingabe: Farbmimetrisches Reflexions-System MRS18a

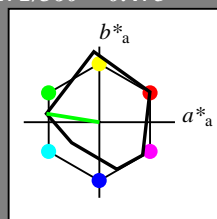
für Buntton  $h^* = lab^*h = 171/360 = 0.475$

$lab^*ch$  und  $lab^*nch$

D65: Buntton G

LCH\*Ma: 52 71 171

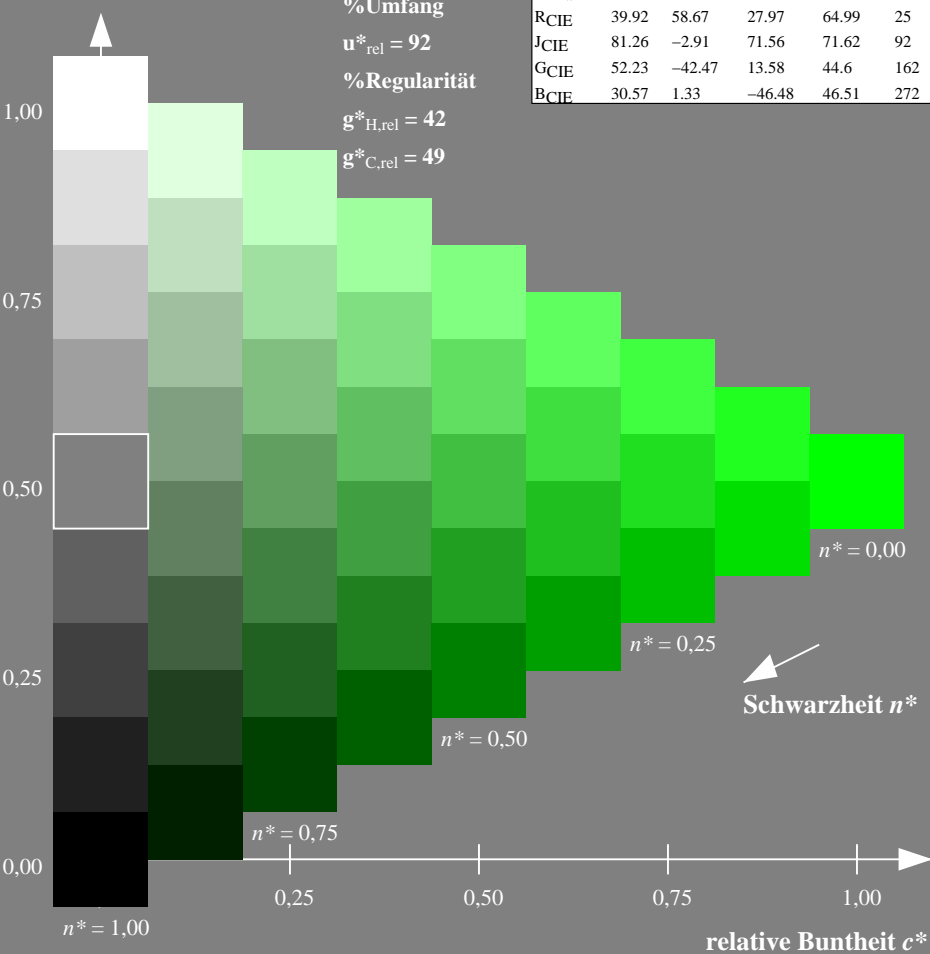
rgb\*Ma: 0.0 1.0 0.0



MRS18a; adaptierte CIELAB-Daten

	$L^*=L^*_a$	$a^*_a$	$b^*_a$	$C^*_{ab,a}$	$h^*_{ab,a}$
RMa	49.63	66.8	40.02	77.87	31
JMa	90.7	-7.27	93.19	93.48	94
GMa	52.11	-69.93	11.26	70.85	171
G50BMa	45.03	-36.65	-27.13	45.61	217
BMa	36.65	23.26	-62.27	66.49	290
B50RMa	34.94	57.27	-43.6	71.99	323
NMa	18.01	0.0	0.0	0.0	0
WMa	95.41	0.0	0.0	0.0	0
RCIE	39.92	58.67	27.97	64.99	25
JCIE	81.26	-2.91	71.56	71.62	92
GCIE	52.23	-42.47	13.58	44.6	162
BCIE	30.57	1.33	-46.48	46.51	272

Dreiecks-Helligkeit  $t^*$



Ausgabe: Farbmimetrisches Reflexions-System ORS18

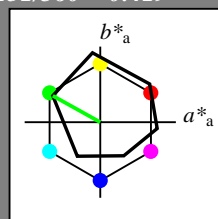
für Buntton  $h^* = lab^*h = 151/360 = 0.419$

$lab^*ch$  und  $lab^*nch$

D65: Buntton L

LCH\*Ma: 51 72 151

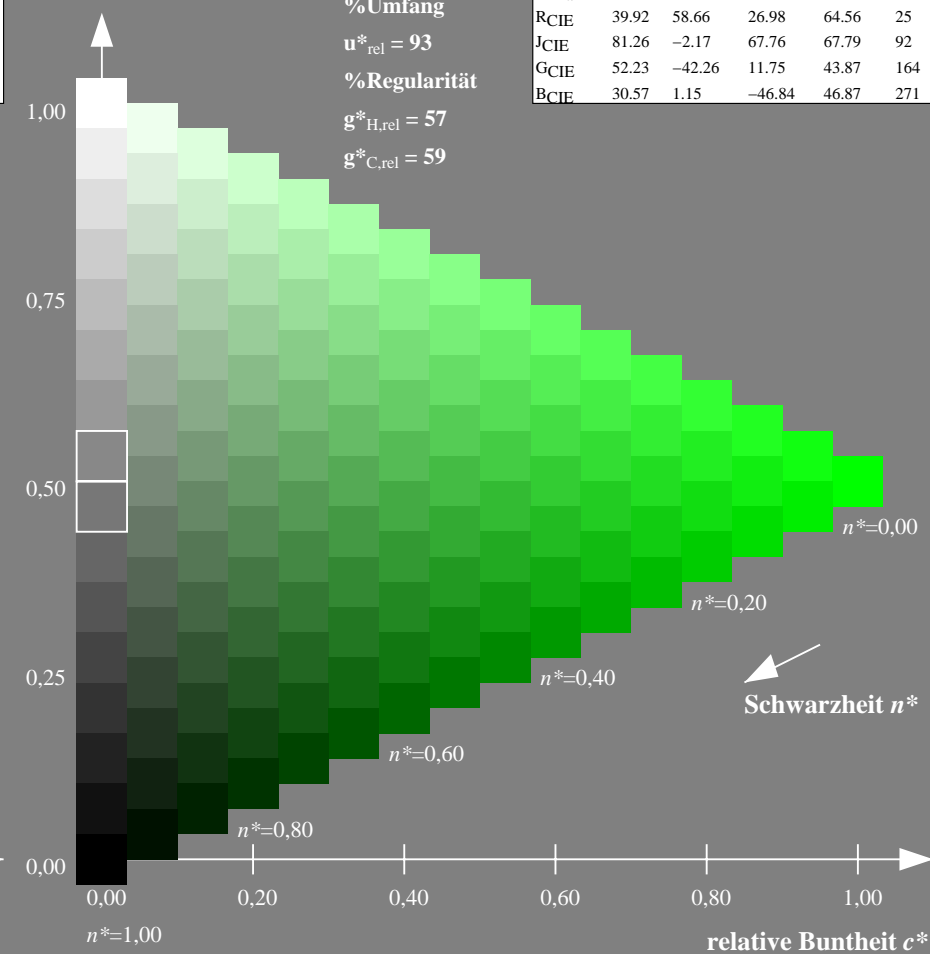
rgb\*Ma: 0.0 1.0 0.0



ORS18; adaptierte CIELAB-Daten

	$L^*=L^*_a$	$a^*_a$	$b^*_a$	$C^*_{ab,a}$	$h^*_{ab,a}$
OMa	47.94	65.37	50.52	82.62	38
YMa	90.37	-10.27	91.77	92.34	96
LMa	50.9	-62.79	34.95	71.87	151
CMa	58.62	-30.35	-45.01	54.3	236
VMa	25.71	31.11	-44.42	54.24	305
MMa	48.13	75.27	-8.35	75.73	354
NMa	18.01	0.0	0.0	0.0	0
WMa	95.41	0.0	0.0	0.0	0
RCIE	39.92	58.66	26.98	64.56	25
JCIE	81.26	-2.17	67.76	67.79	92
GCIE	52.23	-42.26	11.75	43.87	164
BCIE	30.57	1.15	-46.84	46.87	271

Dreiecks-Helligkeit  $t^*$



TG960-7, 9stufige Reihen für konstanten CIELAB Buntton 171/360 = 0.475 (links)

16stufige Reihen für konstanten CIELAB Buntton 151/360 = 0.419 (rechts)

BAM-Prüfvorlage TG96; Farbmimetrik-Systeme MRS18a & ORS18  
 D65: 9 und 16stufige Farbreihen für 10 Bunttöne

input:  $olv^* setrgbcolor$   
 output: no change compared to input

Siehe ähnliche Dateien: <http://www.ps.bam.de/TG96/>  
 Technische Information: <http://www.ps.bam.de> Version 2.1, io=1,1

BAM-Registrierung: 20060101-TG96/10Q/Q96G02NP.PS/.PDF BAM-Material: Code=rh4ta  
 Anwendung für Beurteilung und Messung von Drucker- oder Monitorsystemen  
 /TG96 Form: 3/10, Serie: 1/1, Seite: 3  
 Seitenlung 3

Eingabe: Farbmimetrisches Reflexions-System MRS18a

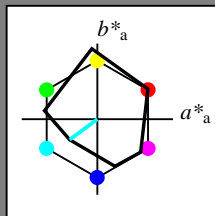
für Buntton  $h^* = lab^*h = 217/360 = 0.601$

$lab^*ch$  und  $lab^*nch$

D65: Buntton G50B

LCH\*Ma: 45 46 217

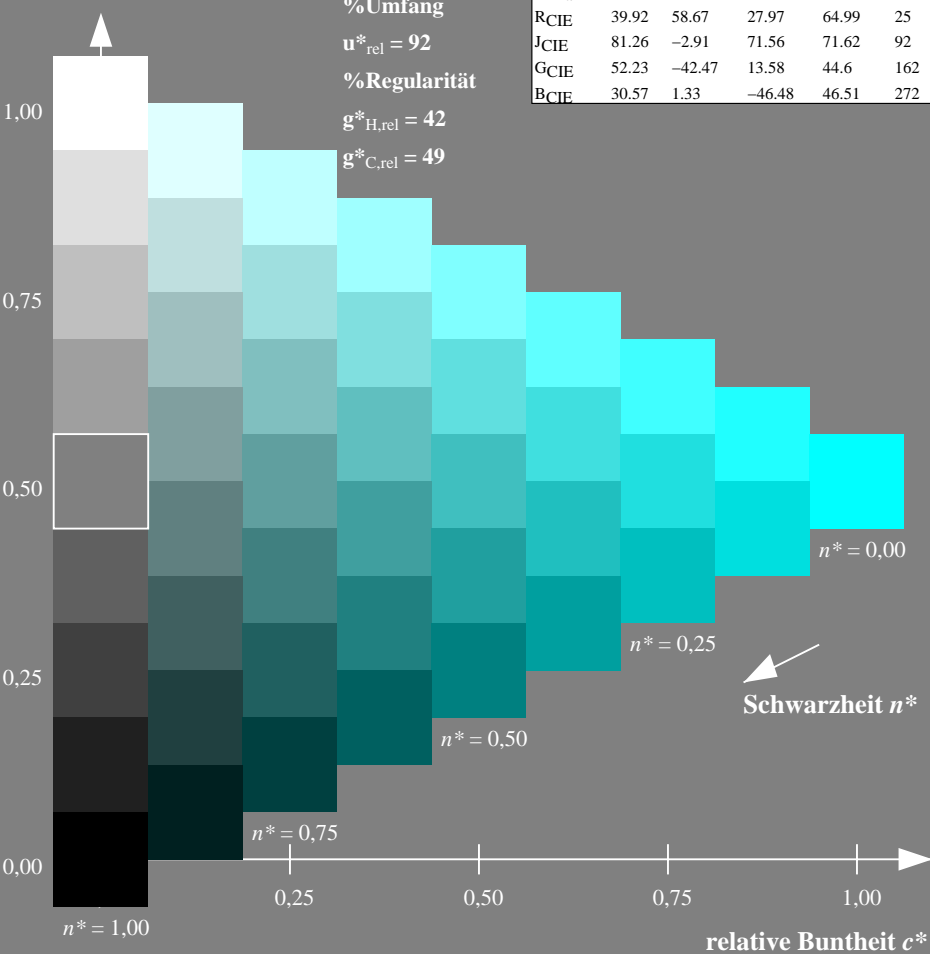
rgb\*Ma: 0.0 1.0 1.0



MRS18a; adaptierte CIELAB-Daten

	$L^*=L^*_a$	$a^*_a$	$b^*_a$	$C^*_{ab,a}$	$h^*_{ab,a}$
RMa	49.63	66.8	40.02	77.87	31
JMa	90.7	-7.27	93.19	93.48	94
GMa	52.11	-69.93	11.26	70.85	171
G50BMa	45.03	-36.65	-27.13	45.61	217
BMa	36.65	23.26	-62.27	66.49	290
B50RMa	34.94	57.27	-43.6	71.99	323
NMa	18.01	0.0	0.0	0.0	0
WMa	95.41	0.0	0.0	0.0	0
RCIE	39.92	58.67	27.97	64.99	25
JCIE	81.26	-2.91	71.56	71.62	92
GCIE	52.23	-42.47	13.58	44.6	162
BCIE	30.57	1.33	-46.48	46.51	272

Dreiecks-Helligkeit  $t^*$



%Umfang

$u^*_{rel} = 92$

%Regularität

$g^*_{H,rel} = 42$

$g^*_{C,rel} = 49$

Ausgabe: Farbmimetrisches Reflexions-System ORS18

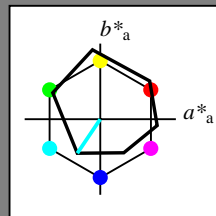
für Buntton  $h^* = lab^*h = 236/360 = 0.656$

$lab^*ch$  und  $lab^*nch$

D65: Buntton C

LCH\*Ma: 59 54 236

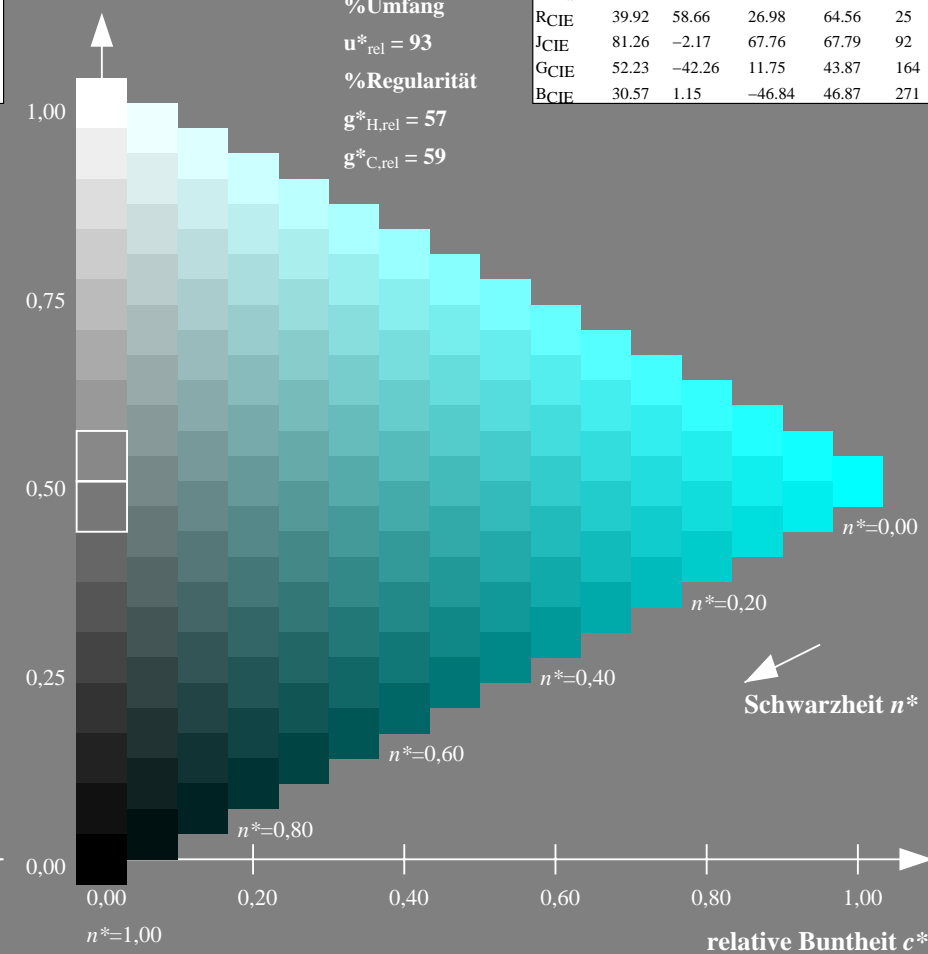
rgb\*Ma: 0.0 1.0 1.0



ORS18; adaptierte CIELAB-Daten

	$L^*=L^*_a$	$a^*_a$	$b^*_a$	$C^*_{ab,a}$	$h^*_{ab,a}$
OMa	47.94	65.37	50.52	82.62	38
YMa	90.37	-10.27	91.77	92.34	96
LMa	50.9	-62.79	34.95	71.87	151
CMa	58.62	-30.35	-45.01	54.3	236
VMa	25.71	31.11	-44.42	54.24	305
MMa	48.13	75.27	-8.35	75.73	354
NMa	18.01	0.0	0.0	0.0	0
WMa	95.41	0.0	0.0	0.0	0
RCIE	39.92	58.66	26.98	64.56	25
JCIE	81.26	-2.17	67.76	67.79	92
GCIE	52.23	-42.26	11.75	43.87	164
BCIE	30.57	1.15	-46.84	46.87	271

Dreiecks-Helligkeit  $t^*$



%Umfang

$u^*_{rel} = 93$

%Regularität

$g^*_{H,rel} = 57$

$g^*_{C,rel} = 59$

TG960-7, 9stufige Reihen für konstanten CIELAB Buntton 217/360 = 0.601 (links)

16stufige Reihen für konstanten CIELAB Buntton 236/360 = 0.656 (rechts)

BAM-Prüfvorlage TG96; Farbmimetrische Systeme MRS18a & ORS18

D65: 9 und 16stufige Farbreihen für 10 Bunttöne

input:  $olv^* setrgbcolor$

output: no change compared to input

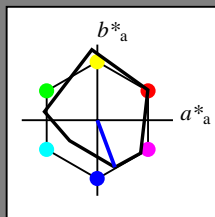
BAM-Registrierung: 20060101-TG96/10Q/Q96G03NP.PS/.PDF BAM-Material: Code=rh4ta  
 Anwendung für Beurteilung und Messung von Drucker- oder Monitorssystemen  
 /TG96 Form: 4/10, Serie: 1/1, Seite: 4  
 Seitenlung 4

Siehe ähnliche Dateien: <http://www.ps.bam.de/TG96/>  
 Technische Information: <http://www.ps.bam.de> Version 2.1, io=1,1

Eingabe: Farbmimetrisches Reflexions-System MRS18a

für Buntton  $h^* = lab^*h = 290/360 = 0.807$

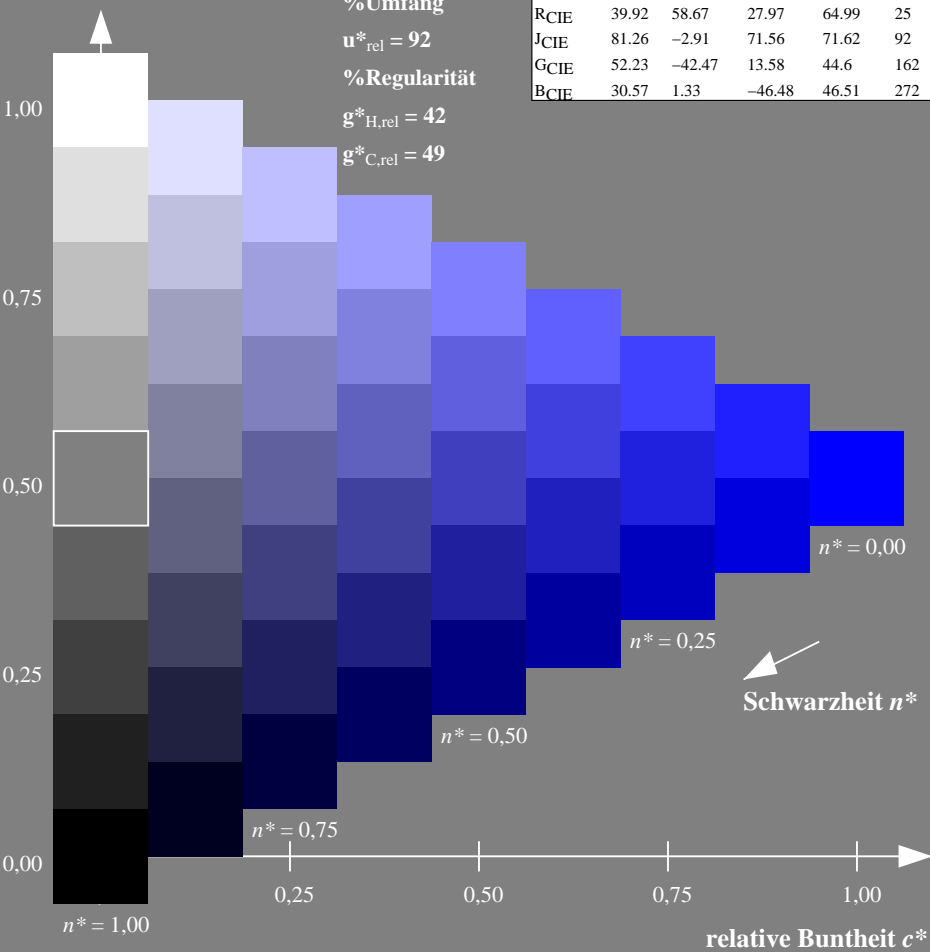
$lab^*ch$  und  $lab^*nch$   
 D65: Buntton B  
 LCH\*Ma: 37 66 290  
 rgb\*Ma: 0.0 0.0 1.0



MRS18a; adaptierte CIELAB-Daten

	$L^*=L^*_a$	$a^*_a$	$b^*_a$	$C^*_{ab,a}$	$h^*_{ab,a}$
RMa	49.63	66.8	40.02	77.87	31
JMa	90.7	-7.27	93.19	93.48	94
GMa	52.11	-69.93	11.26	70.85	171
G50BMa	45.03	-36.65	-27.13	45.61	217
BMa	36.65	23.26	-62.27	66.49	290
B50RMa	34.94	57.27	-43.6	71.99	323
NMa	18.01	0.0	0.0	0.0	0
WMa	95.41	0.0	0.0	0.0	0
RCIE	39.92	58.67	27.97	64.99	25
JCIE	81.26	-2.91	71.56	71.62	92
GCIE	52.23	-42.47	13.58	44.6	162
BCIE	30.57	1.33	-46.48	46.51	272

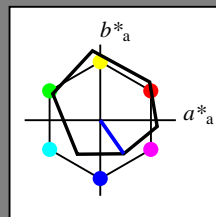
Dreiecks-Helligkeit  $t^*$



Ausgabe: Farbmimetrisches Reflexions-System ORS18

für Buntton  $h^* = lab^*h = 305/360 = 0.847$

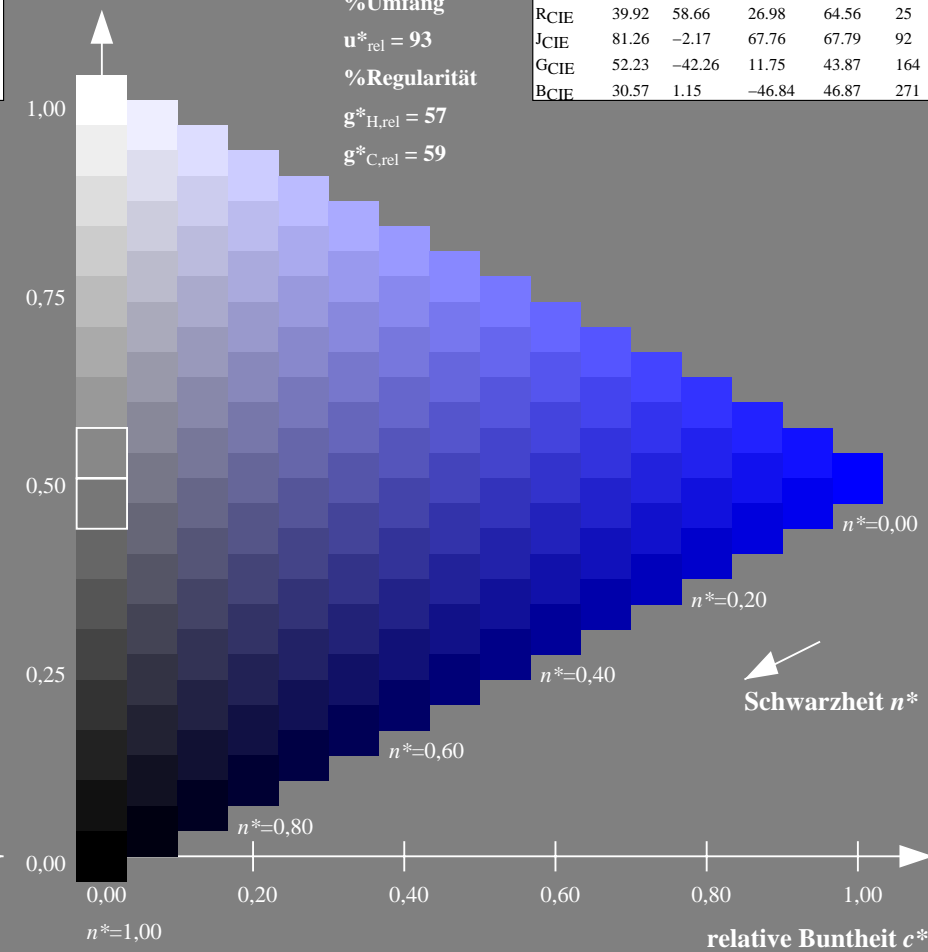
$lab^*ch$  und  $lab^*nch$   
 D65: Buntton V  
 LCH\*Ma: 26 54 305  
 rgb\*Ma: 0.0 0.0 1.0



ORS18; adaptierte CIELAB-Daten

	$L^*=L^*_a$	$a^*_a$	$b^*_a$	$C^*_{ab,a}$	$h^*_{ab,a}$
OMa	47.94	65.37	50.52	82.62	38
YMa	90.37	-10.27	91.77	92.34	96
LMa	50.9	-62.79	34.95	71.87	151
CMa	58.62	-30.35	-45.01	54.3	236
VMa	25.71	31.11	-44.42	54.24	305
MMa	48.13	75.27	-8.35	75.73	354
NMa	18.01	0.0	0.0	0.0	0
WMa	95.41	0.0	0.0	0.0	0
RCIE	39.92	58.66	26.98	64.56	25
JCIE	81.26	-2.17	67.76	67.79	92
GCIE	52.23	-42.26	11.75	43.87	164
BCIE	30.57	1.15	-46.84	46.87	271

Dreiecks-Helligkeit  $t^*$



TG960-7, 9stufige Reihen für konstanten CIELAB Buntton 290/360 = 0.807 (links)

16stufige Reihen für konstanten CIELAB Buntton 305/360 = 0.847 (rechts)

BAM-Prüfvorlage TG96; Farbmimetrische Systeme MRS18a & ORS18  
 D65: 9 und 16stufige Farbreihen für 10 Bunttöne

input:  $olv^* setrgbcolor$   
 output: no change compared to input

Eingabe: Farbmimetrisches Reflexions-System MRS18a

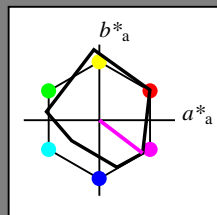
für Buntton  $h^* = lab^*h = 323/360 = 0.896$

$lab^*ch$  und  $lab^*nch$

D65: Buntton B50R

LCH\*Ma: 35 72 323

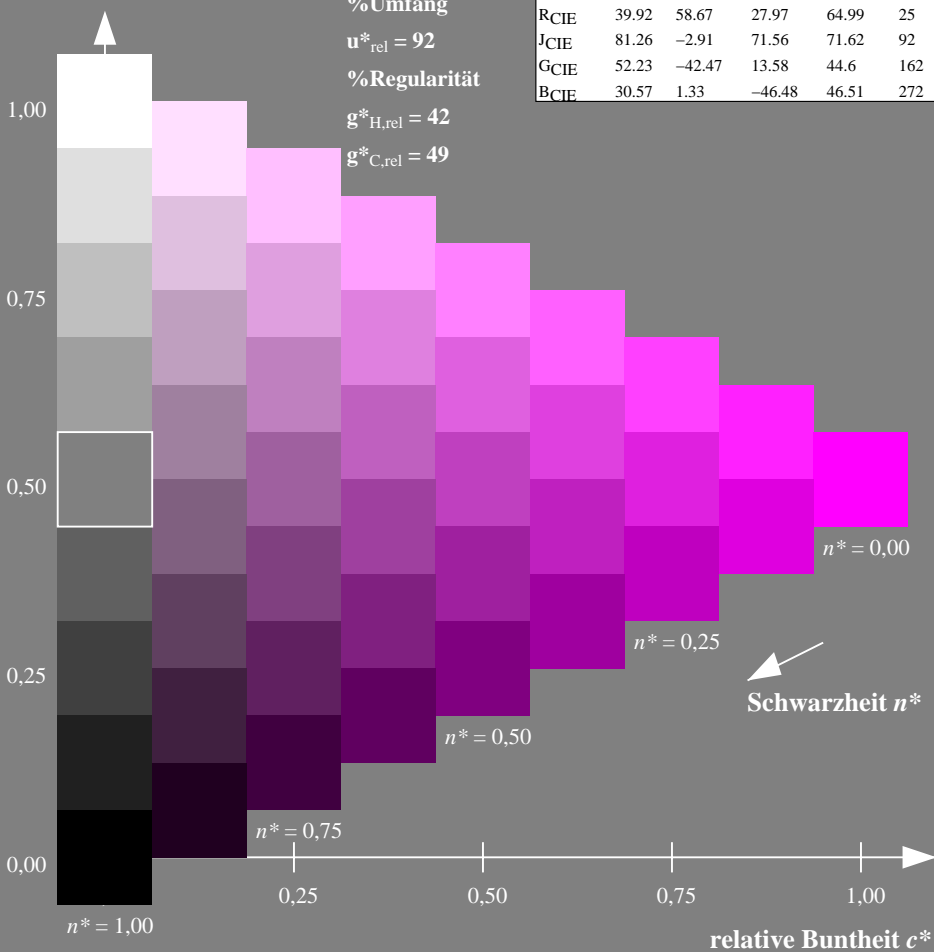
rgb\*Ma: 1.0 0.0 1.0



MRS18a; adaptierte CIELAB-Daten

	$L^*=L^*_a$	$a^*_a$	$b^*_a$	$C^*_{ab,a}$	$h^*_{ab,a}$
RMa	49.63	66.8	40.02	77.87	31
JMa	90.7	-7.27	93.19	93.48	94
GMa	52.11	-69.93	11.26	70.85	171
G50BMa	45.03	-36.65	-27.13	45.61	217
BMa	36.65	23.26	-62.27	66.49	290
B50RMa	34.94	57.27	-43.6	71.99	323
NMa	18.01	0.0	0.0	0.0	0
WMa	95.41	0.0	0.0	0.0	0
RCIE	39.92	58.67	27.97	64.99	25
JCIE	81.26	-2.91	71.56	71.62	92
GCIE	52.23	-42.47	13.58	44.6	162
BCIE	30.57	1.33	-46.48	46.51	272

Dreiecks-Helligkeit  $t^*$



%Umfang

$u^*_{rel} = 92$

%Regularität

$g^*_{H,rel} = 42$

$g^*_{C,rel} = 49$

Ausgabe: Farbmimetrisches Reflexions-System ORS18

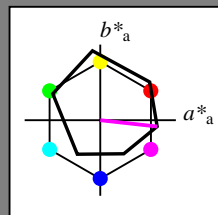
für Buntton  $h^* = lab^*h = 354/360 = 0.982$

$lab^*ch$  und  $lab^*nch$

D65: Buntton M

LCH\*Ma: 48 76 354

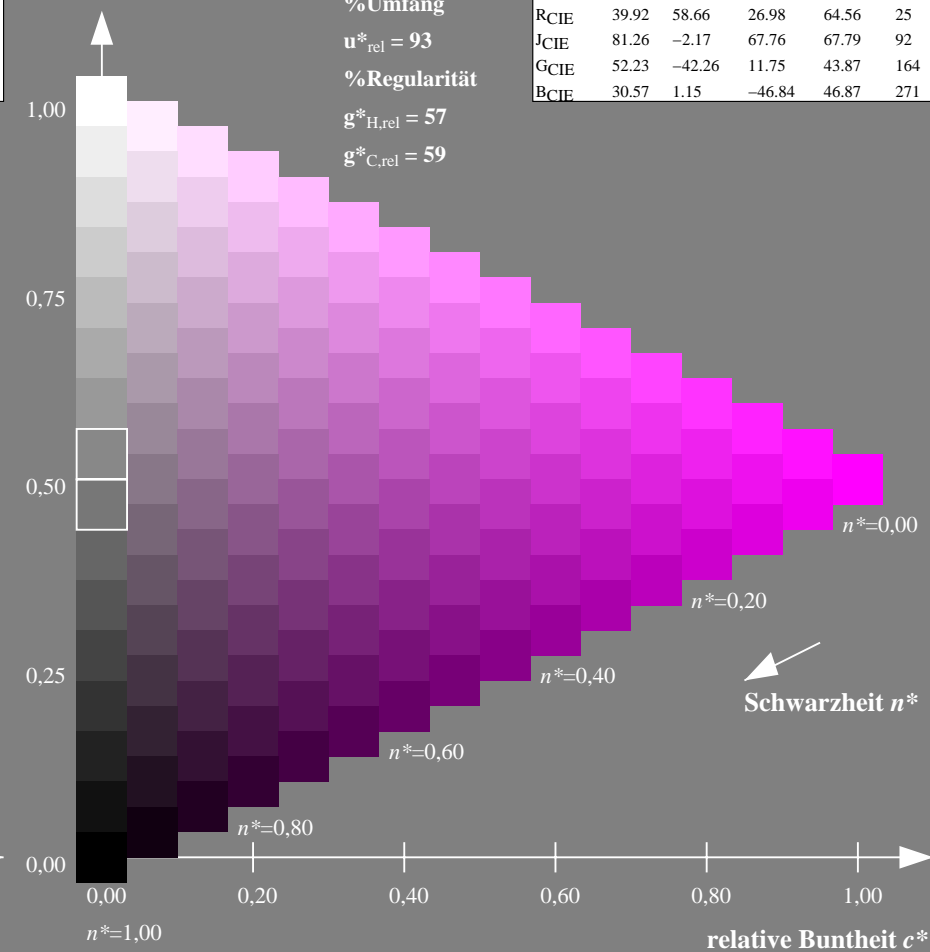
rgb\*Ma: 1.0 0.0 1.0



ORS18; adaptierte CIELAB-Daten

	$L^*=L^*_a$	$a^*_a$	$b^*_a$	$C^*_{ab,a}$	$h^*_{ab,a}$
OMa	47.94	65.37	50.52	82.62	38
YMa	90.37	-10.27	91.77	92.34	96
LMa	50.9	-62.79	34.95	71.87	151
CMa	58.62	-30.35	-45.01	54.3	236
VMa	25.71	31.11	-44.42	54.24	305
MMa	48.13	75.27	-8.35	75.73	354
NMa	18.01	0.0	0.0	0.0	0
WMa	95.41	0.0	0.0	0.0	0
RCIE	39.92	58.66	26.98	64.56	25
JCIE	81.26	-2.17	67.76	67.79	92
GCIE	52.23	-42.26	11.75	43.87	164
BCIE	30.57	1.15	-46.84	46.87	271

Dreiecks-Helligkeit  $t^*$



%Umfang

$u^*_{rel} = 93$

%Regularität

$g^*_{H,rel} = 57$

$g^*_{C,rel} = 59$

TG960-7, 9stufige Reihen für konstanten CIELAB Buntton 323/360 = 0.896 (links)

16stufige Reihen für konstanten CIELAB Buntton 354/360 = 0.982 (rechts)

BAM-Prüfvorlage TG96; Farbmimetrische Systeme MRS18a & ORS18  
 D65: 9 und 16stufige Farbreihen für 10 Bunttöne

input:  $olv^* setrgbcolor$   
 output: no change compared to input

Siehe ähnliche Dateien: <http://www.ps.bam.de/TG96/>  
 Technische Information: <http://www.ps.bam.de> Version 2.1, io=1,1

BAM-Registrierung: 20060101-TG96/10Q/Q96G05NP.PS/.PDF BAM-Material: Code=rh4ta  
 Anwendung für Beurteilung und Messung von Drucker- oder Monitorssystemen  
 /TG96 Form 6/10, Serie: 1/1, Seite: 6  
 Seitenzahl: 6

Eingabe: Farbmimetrisches Reflexions-System MRS18a

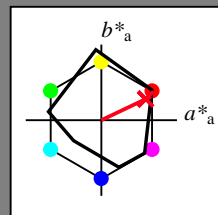
für Buntton  $h^* = lab^*h = 25/360 = 0.071$

$lab^*ch$  und  $lab^*nch$

D65: Buntton R

LCH\*Ma: 48 73 25

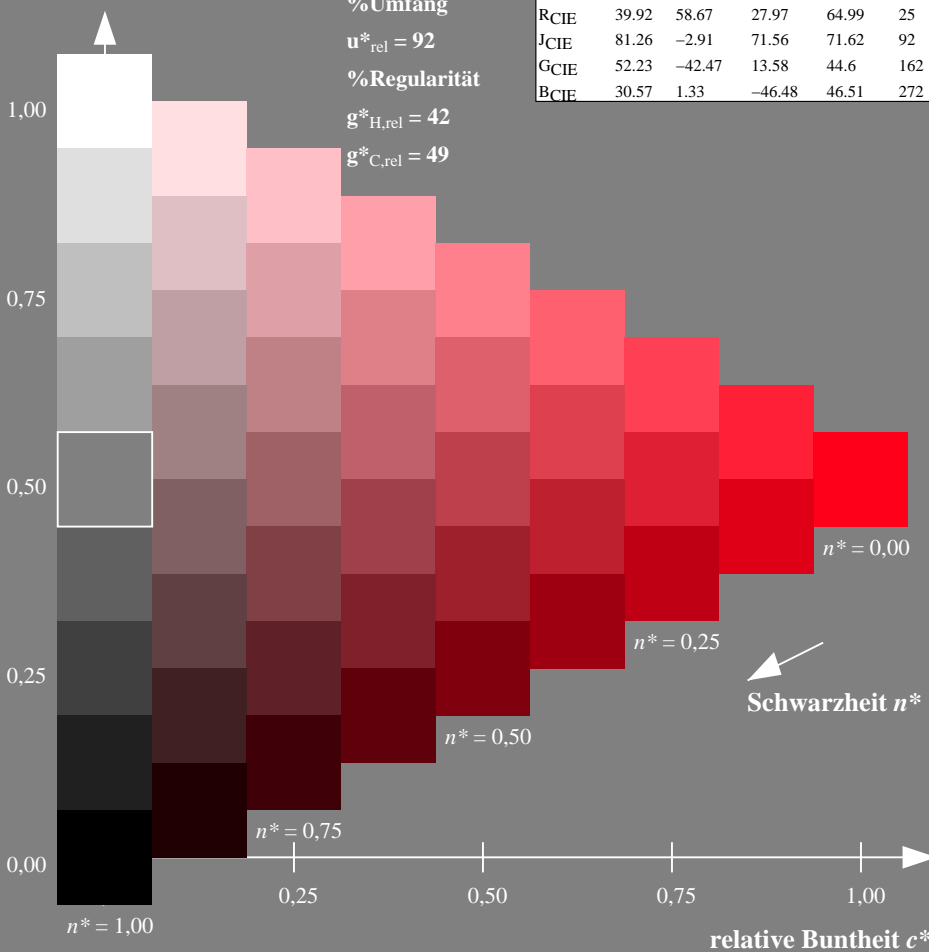
rgb\*Ma: 1.0 0.0 0.1



**MRS18a; adaptierte CIELAB-Daten**

	$L^*=L^*_a$	$a^*_a$	$b^*_a$	$C^*_{ab,a}$	$h^*_{ab,a}$
RMa	49.63	66.8	40.02	77.87	31
JMa	90.7	-7.27	93.19	93.48	94
GMa	52.11	-69.93	11.26	70.85	171
G50BMa	45.03	-36.65	-27.13	45.61	217
BMa	36.65	23.26	-62.27	66.49	290
B50RMa	34.94	57.27	-43.6	71.99	323
NMa	18.01	0.0	0.0	0.0	0
WMa	95.41	0.0	0.0	0.0	0
RCIE	39.92	58.67	27.97	64.99	25
JCIE	81.26	-2.91	71.56	71.62	92
GCIE	52.23	-42.47	13.58	44.6	162
BCIE	30.57	1.33	-46.48	46.51	272

Dreiecks-Helligkeit  $t^*$



%Umfang

$u^*_{rel} = 92$

%Regularität

$g^*_{H,rel} = 42$

$g^*_{C,rel} = 49$

Ausgabe: Farbmimetrisches Reflexions-System ORS18

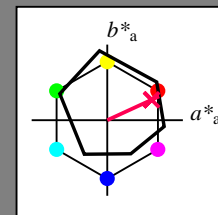
für Buntton  $h^* = lab^*h = 25/360 = 0.069$

$lab^*ch$  und  $lab^*nch$

D65: Buntton R

LCH\*Ma: 48 75 25

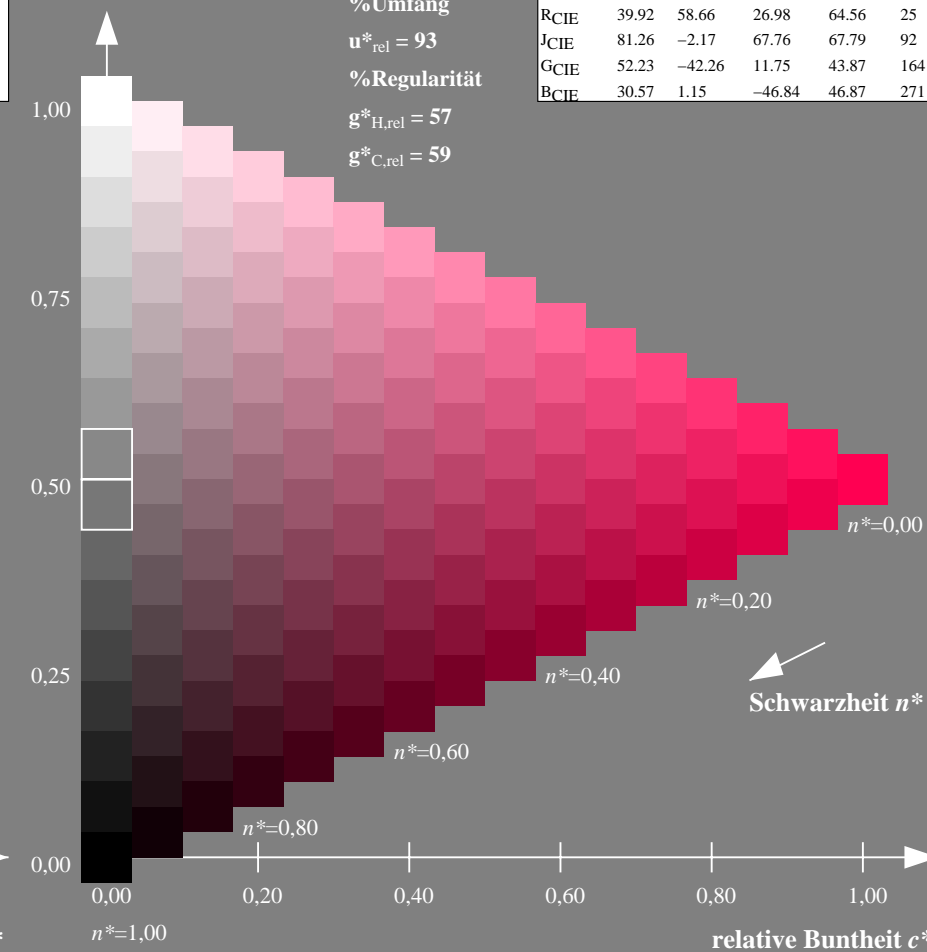
rgb\*Ma: 1.0 0.0 0.32



**ORS18; adaptierte CIELAB-Daten**

	$L^*=L^*_a$	$a^*_a$	$b^*_a$	$C^*_{ab,a}$	$h^*_{ab,a}$
OMa	47.94	65.37	50.52	82.62	38
YMa	90.37	-10.27	91.77	92.34	96
LMa	50.9	-62.79	34.95	71.87	151
CMa	58.62	-30.35	-45.01	54.3	236
VMa	25.71	31.11	-44.42	54.24	305
MMa	48.13	75.27	-8.35	75.73	354
NMa	18.01	0.0	0.0	0.0	0
WMa	95.41	0.0	0.0	0.0	0
RCIE	39.92	58.66	26.98	64.56	25
JCIE	81.26	-2.17	67.76	67.79	92
GCIE	52.23	-42.26	11.75	43.87	164
BCIE	30.57	1.15	-46.84	46.87	271

Dreiecks-Helligkeit  $t^*$



%Umfang

$u^*_{rel} = 93$

%Regularität

$g^*_{H,rel} = 57$

$g^*_{C,rel} = 59$

TG960-7, 9stufige Reihen für konstanten CIELAB Buntton 25/360 = 0.071 (links)

16stufige Reihen für konstanten CIELAB Buntton 25/360 = 0.069 (rechts)

BAM-Prüfvorlage TG96; Farbmimetrik-Systeme MRS18a & ORS18  
 D65: 9 und 16stufige Farbreihen für 10 Bunttöne

input:  $olv^* setrgbcolor$   
 output: no change compared to input

Siehe ähnliche Dateien: <http://www.ps.bam.de/TG96/>  
 Technische Information: <http://www.ps.bam.de> Version 2.1, io=1,1

BAM-Registrierung: 20060101-TG96/10Q/Q96G06NP.PS/.PDF BAM-Material: Code=rh4ta  
 Anwendung für Beurteilung und Messung von Drucker- oder Monitorssystemen  
 /TG96 Form: 7/10, Serie: 1/1, Seite: 7  
 Seitenlänge 7

Eingabe: Farbmimetrisches Reflexions-System MRS18a

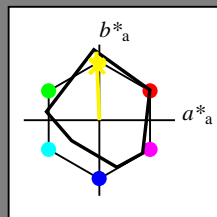
für Buntton  $h^* = lab^*h = 92/360 = 0.256$

$lab^*ch$  und  $lab^*nch$

D65: Buntton J

LCH\*Ma: 89 91 92

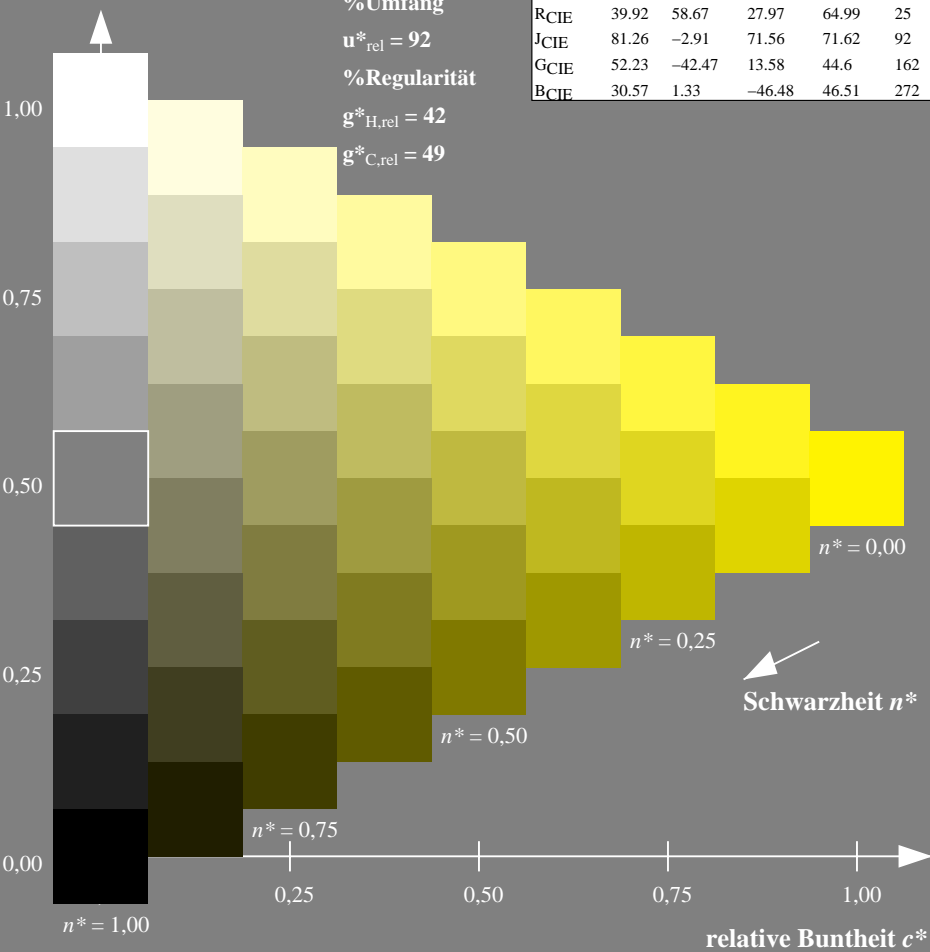
rgb\*Ma: 1.0 0.95 0.0



MRS18a; adaptierte CIELAB-Daten

	$L^*=L^*_a$	$a^*_a$	$b^*_a$	$C^*_{ab,a}$	$h^*_{ab,a}$
RMa	49.63	66.8	40.02	77.87	31
JMa	90.7	-7.27	93.19	93.48	94
GMa	52.11	-69.93	11.26	70.85	171
G50BMa	45.03	-36.65	-27.13	45.61	217
BMa	36.65	23.26	-62.27	66.49	290
B50RMa	34.94	57.27	-43.6	71.99	323
NMa	18.01	0.0	0.0	0.0	0
WMa	95.41	0.0	0.0	0.0	0
RCIE	39.92	58.67	27.97	64.99	25
JCIE	81.26	-2.91	71.56	71.62	92
GCIE	52.23	-42.47	13.58	44.6	162
BCIE	30.57	1.33	-46.48	46.51	272

Dreiecks-Helligkeit  $t^*$



Ausgabe: Farbmimetrisches Reflexions-System ORS18

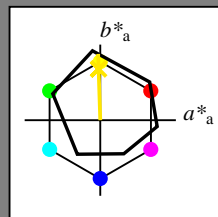
für Buntton  $h^* = lab^*h = 92/360 = 0.255$

$lab^*ch$  und  $lab^*nch$

D65: Buntton J

LCH\*Ma: 86 88 92

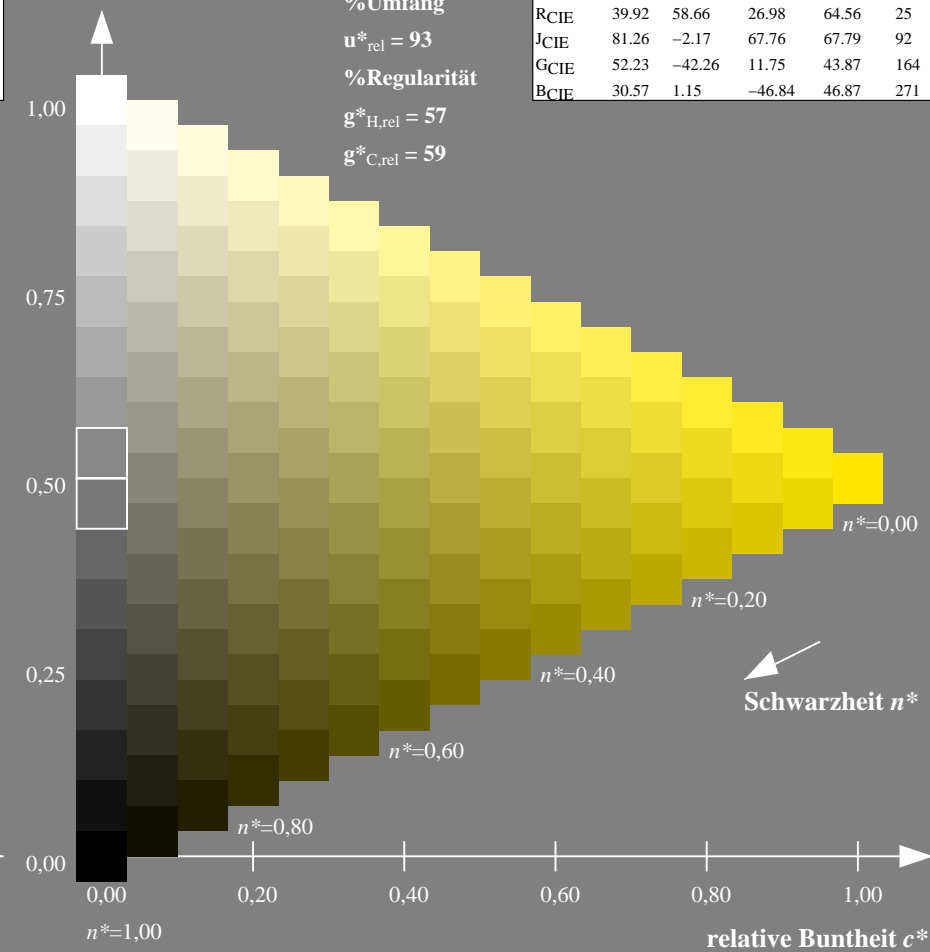
rgb\*Ma: 1.0 0.9 0.0



ORS18; adaptierte CIELAB-Daten

	$L^*=L^*_a$	$a^*_a$	$b^*_a$	$C^*_{ab,a}$	$h^*_{ab,a}$
OMa	47.94	65.37	50.52	82.62	38
YMa	90.37	-10.27	91.77	92.34	96
LMa	50.9	-62.79	34.95	71.87	151
CMa	58.62	-30.35	-45.01	54.3	236
VMa	25.71	31.11	-44.42	54.24	305
MMa	48.13	75.27	-8.35	75.73	354
NMa	18.01	0.0	0.0	0.0	0
WMa	95.41	0.0	0.0	0.0	0
RCIE	39.92	58.66	26.98	64.56	25
JCIE	81.26	-2.17	67.76	67.79	92
GCIE	52.23	-42.26	11.75	43.87	164
BCIE	30.57	1.15	-46.84	46.87	271

Dreiecks-Helligkeit  $t^*$



Siehe ähnliche Dateien: <http://www.ps.bam.de/TG96/>  
 Technische Information: <http://www.ps.bam.de> Version 2.1, io=1,1

BAM-Registrierung: 20060101-TG96/10Q/Q96G07NP.PS/.PDF BAM-Material: Code=rh4ta  
 Anwendung für Beurteilung und Messung von Drucker- oder Monitorssystemen  
 /TG96 Form: 8/10, Serie: 1/1, Seite: 8  
 Seitenzahl: 8

TG960-7, 9stufige Reihen für konstanten CIELAB Buntton  $92/360 = 0.256$  (links)

16stufige Reihen für konstanten CIELAB Buntton  $92/360 = 0.255$  (rechts)

BAM-Prüfvorlage TG96; Farbmimetrische Systeme MRS18a & ORS18

D65: 9 und 16stufige Farbreihen für 10 Bunttöne

input:  $olv^* setrgbcolor$

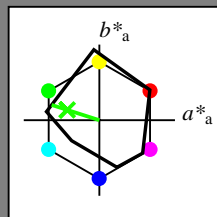
output: no change compared to input



Eingabe: Farbmimetrisches Reflexions-System MRS18a

für Buntton  $h^* = lab^*h = 162/360 = 0.451$

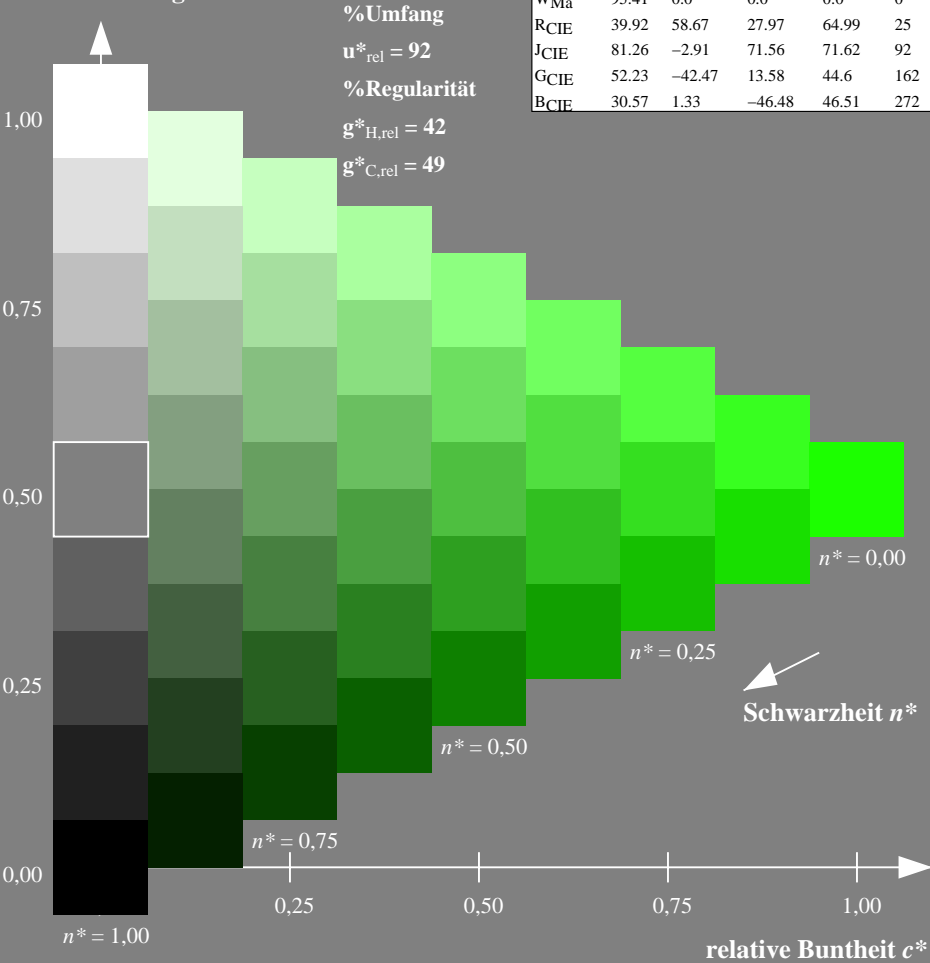
$lab^*ch$  und  $lab^*nch$   
 D65: Buntton G  
 LCH\*Ma: 56 66 162  
 rgb\*Ma: 0.11 1.0 0.0



MRS18a; adaptierte CIELAB-Daten

	$L^*=L^*_a$	$a^*_a$	$b^*_a$	$C^*_{ab,a}$	$h^*_{ab,a}$
RMa	49.63	66.8	40.02	77.87	31
JMa	90.7	-7.27	93.19	93.48	94
GMa	52.11	-69.93	11.26	70.85	171
G50BMa	45.03	-36.65	-27.13	45.61	217
BMa	36.65	23.26	-62.27	66.49	290
B50RMa	34.94	57.27	-43.6	71.99	323
NMa	18.01	0.0	0.0	0.0	0
WMa	95.41	0.0	0.0	0.0	0
RCIE	39.92	58.67	27.97	64.99	25
JCIE	81.26	-2.91	71.56	71.62	92
GCIE	52.23	-42.47	13.58	44.6	162
BCIE	30.57	1.33	-46.48	46.51	272

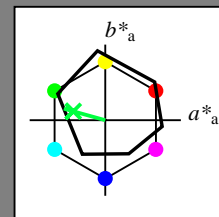
Dreiecks-Helligkeit  $t^*$



Ausgabe: Farbmimetrisches Reflexions-System ORS18

für Buntton  $h^* = lab^*h = 164/360 = 0.457$

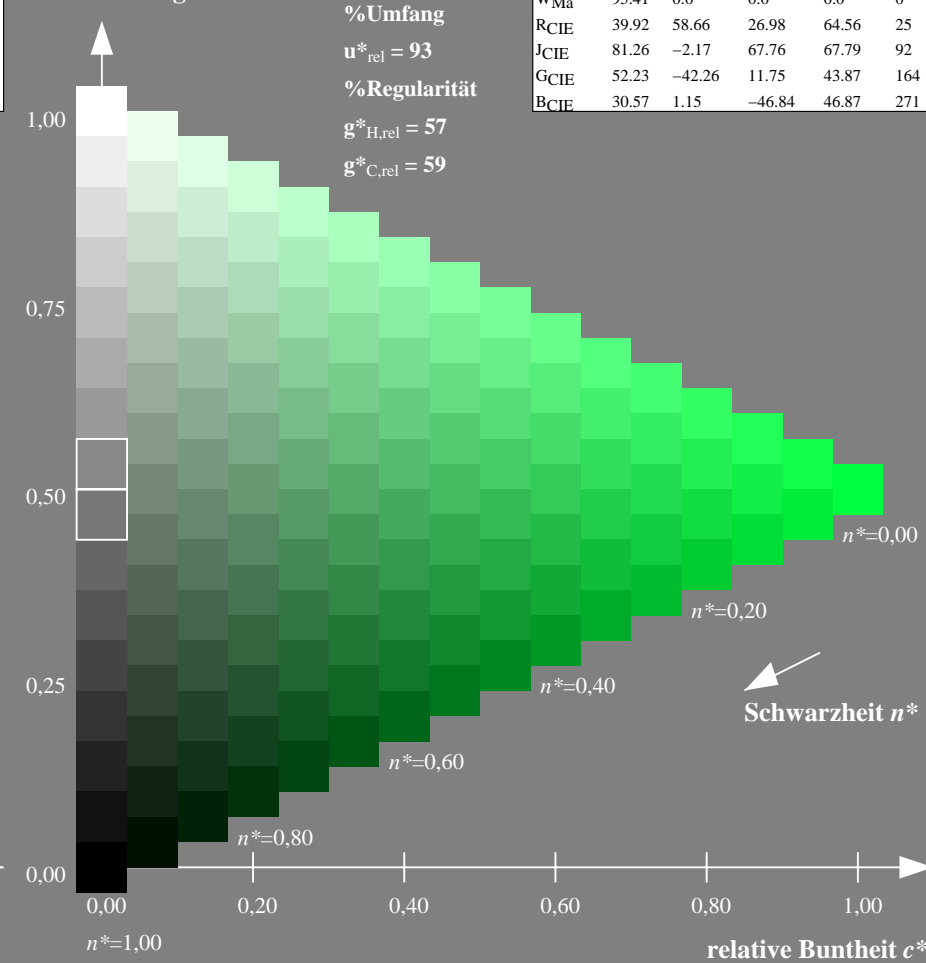
$lab^*ch$  und  $lab^*nch$   
 D65: Buntton G  
 LCH\*Ma: 53 57 164  
 rgb\*Ma: 0.0 1.0 0.25



ORS18; adaptierte CIELAB-Daten

	$L^*=L^*_a$	$a^*_a$	$b^*_a$	$C^*_{ab,a}$	$h^*_{ab,a}$
OMa	47.94	65.37	50.52	82.62	38
YMa	90.37	-10.27	91.77	92.34	96
LMa	50.9	-62.79	34.95	71.87	151
CMa	58.62	-30.35	-45.01	54.3	236
VMa	25.71	31.11	-44.42	54.24	305
MMa	48.13	75.27	-8.35	75.73	354
NMa	18.01	0.0	0.0	0.0	0
WMa	95.41	0.0	0.0	0.0	0
RCIE	39.92	58.66	26.98	64.56	25
JCIE	81.26	-2.17	67.76	67.79	92
GCIE	52.23	-42.26	11.75	43.87	164
BCIE	30.57	1.15	-46.84	46.87	271

Dreiecks-Helligkeit  $t^*$



TG960-7, 9stufige Reihen für konstanten CIELAB Buntton 162/360 = 0.451 (links)

16stufige Reihen für konstanten CIELAB Buntton 164/360 = 0.457 (rechts)

BAM-Prüfvorlage TG96; Farbmimetrik-Systeme MRS18a & ORS18  
 D65: 9 und 16stufige Farbreihen für 10 Bunttöne  
 input:  $olv^* setrgbcolor$   
 output: no change compared to input

Eingabe: Farbmimetrisches Reflexions-System MRS18a

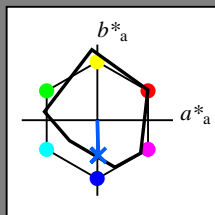
für Buntton  $h^* = lab^*h = 272/360 = 0.755$

$lab^*ch$  und  $lab^*nch$

D65: Buntton B

LCH\*Ma: 40 49 272

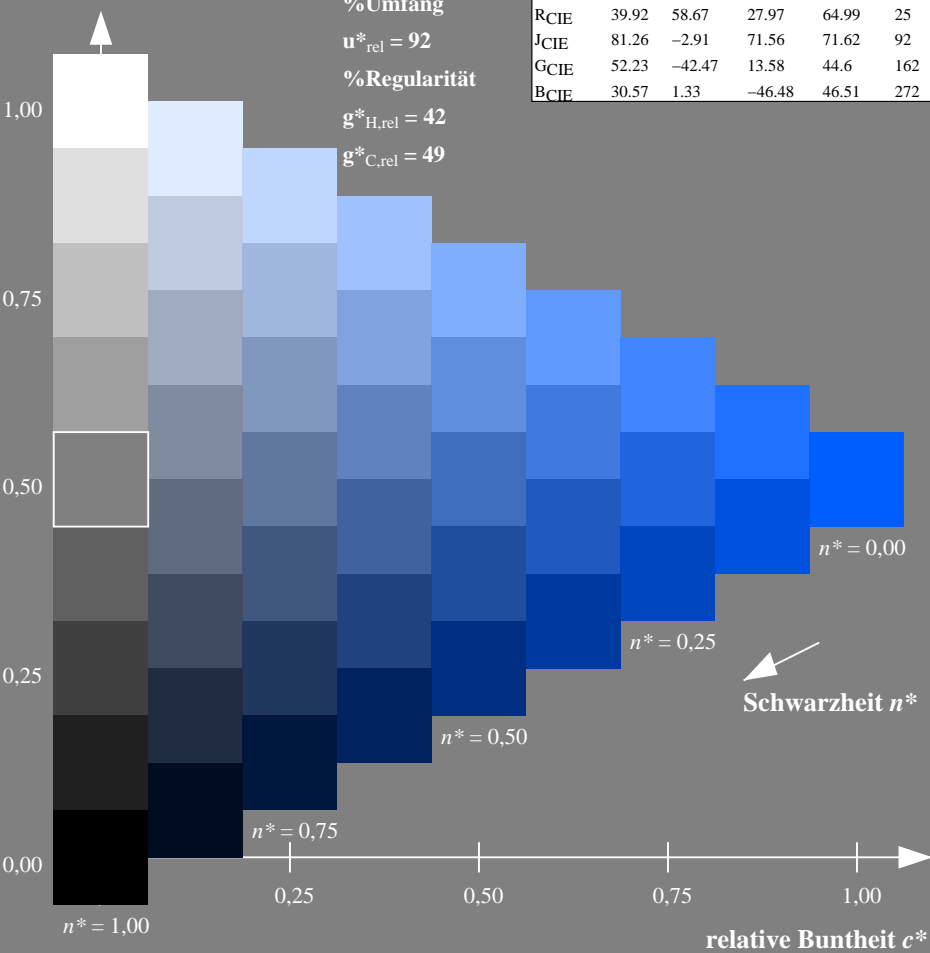
rgb\*Ma: 0.0 0.36 1.0



MRS18a; adaptierte CIELAB-Daten

	$L^*=L^*_a$	$a^*_a$	$b^*_a$	$C^*_{ab,a}$	$h^*_{ab,a}$
RMa	49.63	66.8	40.02	77.87	31
JMa	90.7	-7.27	93.19	93.48	94
GMa	52.11	-69.93	11.26	70.85	171
G50BMa	45.03	-36.65	-27.13	45.61	217
BMa	36.65	23.26	-62.27	66.49	290
B50RMa	34.94	57.27	-43.6	71.99	323
NMa	18.01	0.0	0.0	0.0	0
WMa	95.41	0.0	0.0	0.0	0
RCIE	39.92	58.67	27.97	64.99	25
JCIE	81.26	-2.91	71.56	71.62	92
GCIE	52.23	-42.47	13.58	44.6	162
BCIE	30.57	1.33	-46.48	46.51	272

Dreiecks-Helligkeit  $t^*$



Ausgabe: Farbmimetrisches Reflexions-System ORS18

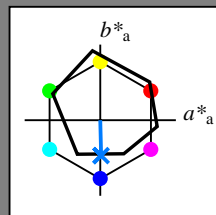
für Buntton  $h^* = lab^*h = 271/360 = 0.754$

$lab^*ch$  und  $lab^*nch$

D65: Buntton B

LCH\*Ma: 42 45 271

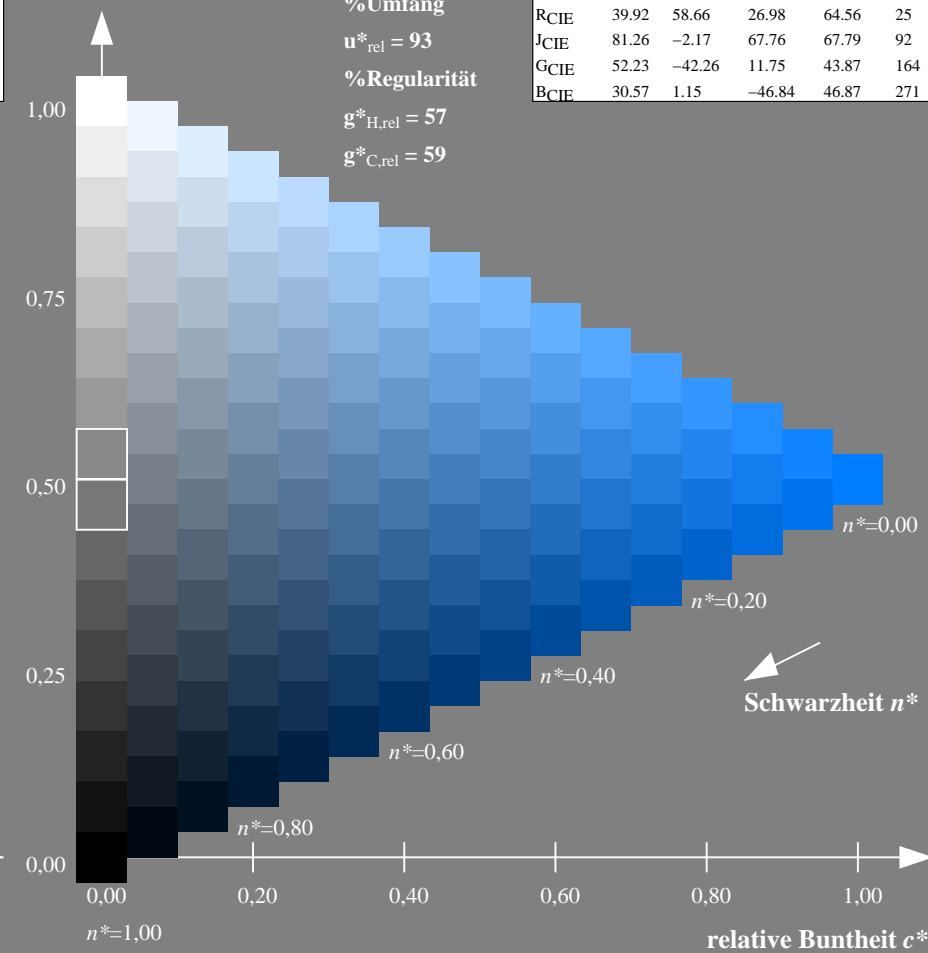
rgb\*Ma: 0.0 0.49 1.0



ORS18; adaptierte CIELAB-Daten

	$L^*=L^*_a$	$a^*_a$	$b^*_a$	$C^*_{ab,a}$	$h^*_{ab,a}$
OMa	47.94	65.37	50.52	82.62	38
YMa	90.37	-10.27	91.77	92.34	96
LMa	50.9	-62.79	34.95	71.87	151
CMa	58.62	-30.35	-45.01	54.3	236
VMa	25.71	31.11	-44.42	54.24	305
MMa	48.13	75.27	-8.35	75.73	354
NMa	18.01	0.0	0.0	0.0	0
WMa	95.41	0.0	0.0	0.0	0
RCIE	39.92	58.66	26.98	64.56	25
JCIE	81.26	-2.17	67.76	67.79	92
GCIE	52.23	-42.26	11.75	43.87	164
BCIE	30.57	1.15	-46.84	46.87	271

Dreiecks-Helligkeit  $t^*$



TG960-7, 9stufige Reihen für konstanten CIELAB Buntton 272/360 = 0.755 (links)

16stufige Reihen für konstanten CIELAB Buntton 271/360 = 0.754 (rechts)

BAM-Prüfvorlage TG96; Farbmimetrik-Systeme MRS18a & ORS18  
 D65: 9 und 16stufige Farbreihen für 10 Bunttöne

input:  $olv^* setrgbcolor$   
 output: no change compared to input